

4. Долинский В.М. Расчет нагруженных труб, подверженных коррозии // Химическое и нефтяное машиностроение. – 1967. – №2. – С. 9-10.
5. Зеленцов Д.Г., Радуль О.А., Короткая Л.И. Анализ применимости аналитических формул при решении задач долговечности стержневых корродирующих конструкций// Системные технологии. 2007 - №50. – С. 121-129.
6. Кофман А. Введение в теорию нечетких множеств. – Москва: Радио и связь, 1982. – 432 с.

пост. 23.12.2010

К расчету термических напряжений при конвективном нагреве шара

ГОРБУНОВ А.Д.

Днепропетровский государственный технический университет

Разработана инженерная методика расчета термических напряжений при конвективном нагреве шаровых тел. Ключевые слова: аналитический расчет, нагрев, термическое напряжение, шар.

Розроблено інженерну методику аналітичного розрахунку термічних напружень при конвективному нагріванні кульових тіл.

Ключові слова: аналітичний розрахунок, термічні напруження, нагрівання, куля.

The article represents the developed engineering technique of thermal tension during convective heating of spherical bodies.

Key words: analytical calculations, heating, thermal tension, sphera.

Постановка проблемы и анализ публикаций.

Без знания температурных полей и термических напряжений внутри массивного тела невозможно назначить рациональные энерго- и материалосберегающие тепловые и температурные режимы печей или других агрегатов, связанных с тепловой обработкой материалов, например, сушильных установок, химических реакторов и т. п. При значительных скоростях нагрева в шаре могут возникать термические напряжения, превышающие допустимые для данного материала, приводящие в некоторых случаях даже к разрушению тела.

В работе [1] приведены аналитические решения для расчета относительных термических напряжений в любой точке неограниченной пластины при ее конвективном нагреве в печи с постоянной температурой греющей среды t_c

$$\tilde{\sigma}(X, Fo) = \theta_{cp}(Fo) - \theta(X, Fo), \quad (1)$$

на поверхности при $X=1$

$$\tilde{\sigma}_n(Fo) = \theta_{cp}(Fo) - \theta_n(Fo) = \sum_{n=1}^{\infty} D_n(\mu_n) e^{-\mu_n^2 Fo} \quad (2)$$

и в центре пластины при $X=0$

$$\tilde{\sigma}_c(Fo) = \theta_{cp}(Fo) - \theta_c(Fo) = \sum_{n=1}^{\infty} C_n(\mu_n) e^{-\mu_n^2 Fo}, \quad (3)$$

ГДЕ $\tilde{\sigma} = \sigma/\sigma_0$ — безразмерные термические напряжения, $0 \leq \tilde{\sigma} \leq 1$; $\sigma_0 = \beta E \Delta t_0 / (1-\nu)$ — максимально возможные термические напряжения, Па.

Здесь относительные температуры: в любой точке $X = x/R_0$

$$\theta(X, Fo) = \sum_{n=1}^{\infty} P_n(\mu_n) \cdot U_n(X) e^{-\mu_n^2 Fo}, \quad (4)$$

на поверхности

$$\theta_n(Fo) = \sum_{n=1}^{\infty} P_n(\mu_n) \cdot e^{-\mu_n^2 \cdot Fo}, \quad (5)$$

в центре

$$\theta_c(Fo) = \sum_{n=1}^{\infty} A_n(\mu_n) \cdot e^{-\mu_n^2 \cdot Fo} \quad (6)$$

и среднемассовая

$$\theta_{cp}(Fo) = \sum_{n=1}^{\infty} M_n(\mu_n) \cdot e^{-\mu_n^2 \cdot Fo}, \quad (7)$$

где $\theta(Fo) = (t(\tau) - t_c) / \Delta t_0$; $\Delta t_0 = t_0 - t_c$; t_0 — начальная температура тела, °C; $Fo = at/R_0^2$ — число Фурье; $Bi = \alpha R_0 / \lambda$ — число Био; $P_n(\mu_n) = 2Bi / [Bi(Bi + 1) + \mu_n^2]$ — тепловая амплитуда; $A_n(\mu_n) = P_n(\mu_n) / \cos \mu_n$; $M_n(\mu_n) = P_n(\mu_n) \cdot Bi / \mu_n^2$; $C_n(\mu_n) = M_n(\mu_n) - A_n(\mu_n)$; $D_n(\mu_n) = M_n(\mu_n) - P_n(\mu_n)$; $U_n(x) = \cos \mu_n x / \cos \mu_n$; μ_n — собственные числа, определяемые характеристическим уравнением:

$$\text{ctg} \mu_n = \mu_n / Bi. \quad (8)$$

Решая совместно уравнения (2) и (3), можно получить формулу связи между термонапряжениями в центре и на поверхности

$$\tilde{\sigma}_n(Fo) = -\Delta \theta(Fo) + \tilde{\sigma}_c(Fo), \quad (9)$$

где относительный перепад температур получается путем вычитания из (5) уравнения (6)

$$\Delta \theta(Fo) = \theta_n - \theta_c = \sum_{n=1}^{\infty} E_n(\mu_n) \cdot e^{-\mu_n^2 Fo} \quad (10)$$

в котором $E_n(\mu_n) = P_n(\mu_n) - A_n(\mu_n)$.

Из анализа уравнений (2), (3), (9) и (10) следует, что динамика изменения напряжений во времени анало-

гична изменению температурной разности, т.е. резко возрастают, достигая максимального значения при числах Фурье $Fo_{max}=0,05...0,50$, а затем постепенно падают, т.е. носят колоколообразный характер.

На практике иногда важнее знать не всю динамику изменений напряжений во времени, а только их максимально возможные характерные величины. Целью данной работы является аналитическое определение указанных величин для шаровых тел.

Изложение материалов исследования. Задачу определения термических напряжений в шаре будем решать в предположении такой же их зависимости от температур на поверхности, в центре и среднемассовой как для плоских тел.

Для шаровых тел будут справедливы уравнения (1)...(7), (9), (10) для пластины с заменой координатной функции $U(X)$, входящей в уравнение (4) $U_n(X) = [\sin(\mu_n X)/\sin \mu_n] \cdot \mu_n / (\mu_n X)$, тепловых амплитуд $P_n(\mu_n) = 2Bi / [-Bi + \mu_n^2]$ для уравнения (5), $A_n(\mu_n) = P_n(\mu_n) \cdot \mu_n / \sin \mu_n$ — для (6) и $M_n(\mu_n) = 3Bi / \mu_n^2$ — для (7). Теперь μ_n вместо (8) определяется из характеристического уравнения:

$$\operatorname{ctg} \mu_n = B / \mu_n, \quad (11)$$

где $B = 1 - Bi$.

Дифференцируя уравнения (2), (3) и (10) по времени, приравнявая производную нулю и используя два члена суммы ряда, получим формулы для расчёта максимальных времен Фурье:

для максимального термического напряжения на поверхности

$$Fo_{m,п} = (1/a) \ln(1/b_{п}), \quad (12)$$

перепада температур

$$Fo_{max} = \frac{1}{a} \ln \frac{1}{b} \quad (13)$$

и термонапряжения в центре

$$Fo_{m,ц} = (1/a) \ln(1/b_{ц}), \quad (14)$$

где $a = \mu_2^2 - \mu_1^2$; $b_{п} = -\delta D_1 / D_2$; $b_{ц} = -\delta C_1 / C_2$; $b = -\delta E_1 / E_2$; $\delta = (\mu_1 / \mu_2)^2$.

Здесь и далее под E_i понимается амплитуда $E_i(\mu_i)$.

Подставляя Fo_{max} из (13) в уравнение (10), получим максимальный перепад температур с учётом двух членов ряда:

$$\begin{aligned} \Delta \theta_m &= E_1 e^{-\mu_1^2 Fo_{max}} (1 + E_2 / E_1 \cdot e^{-a Fo_{max}}) = \\ &= (1 - \delta) E_1(\mu_1) e^{-\mu_1^2 Fo_{max}}. \end{aligned} \quad (15)$$

При выводе (15) было учтено, что согласно уравнению (13) $\exp(-a Fo_{max}) = b$.

По аналогии подставляя $Fo_{m,п}$ в уравнение (2), получим максимальное термическое напряжение на поверхности

$$\tilde{\sigma}_{m,п} = (1 - \delta) D_1 \cdot e^{-\mu_1^2 Fo_{m,п}} \quad (16)$$

и после подстановки (14) в (3) — максимальное напряжение в центре шара

$$\tilde{\sigma}_{m,ц} = (1 - \delta) C_1 e^{-\mu_1^2 Fo_{m,ц}}. \quad (17)$$

Анализ полученных решений. Формулы (12)...(14) однотипны и могут быть описаны одним уравнением

$$Fo_{m,j} = (1/a) \ln(1/b_j). \quad (18)$$

При $j=1,3$ имеем расчет напряжений на поверхности и в центре, а при $j=2$ — перепада температур. После определения максимальных времен можно найти соответствующие температуры при этих числах Фурье с учетом двух членов ряда.

Подставляя $Fo_{m,j}$ в уравнение (5), получим температуру поверхности

$$\theta_{п,j} = (P_1 + b_j P_2) \exp(-\mu_1^2 \cdot Fo_{m,j}), \quad (19)$$

в (6) — температуру центра

$$\theta_{ц,j} = (C_1 + b_j C_2) \exp(-\mu_1^2 \cdot Fo_{m,j}), \quad (20)$$

в соотношении (7) — среднемассовую

$$\theta_{ср,j} = (M_1 + b_j M_2) \exp(-\mu_1^2 \cdot Fo_{m,j}), \quad (21)$$

и в (10) перепад температур

$$\Delta \theta_j = (E_1 + b_j E_2) \exp(-\mu_1^2 \cdot Fo_{m,j}). \quad (22)$$

Наибольшую и основную трудность при практических расчётах по уравнениям (1)...(22) представляет определение по соотношению (11) бесчисленного множества корней. В работе [2] приведена общая приближенная формула расчета первого корня для тел простой формы

$$\mu_1 = \sqrt{D/\gamma}, \quad (23)$$

где $D = kBi/m$; $m = 1 + Bi/(k+2)$ — коэффициент термической массивности; $\gamma = (1 + \sqrt{1 + 4\rho})/2$; $\rho = D^2 / [k(k+2)^2(k+4)]$; k — коэффициент геометрической формы, равный 1 — для пластины, 2 — цилиндра и 3 — шара. При малых ρ число $\gamma \cong 1 + \rho$.

Для определения приближенных значений остальных корней следует различать два характерных случая нагрева — при больших и малых числах Био [3].

При малых числах Био ($Bi < 3$)

$$\mu_n = b_n - z_n, \quad (24)$$

где $z_n = G_1/\gamma_n$; $G_1 = B/b_n$; $\rho_n = (2 + Bi)B/(3b_n^2)$; $b_n = (2n-1)\pi/2$; $n = 1,2,3,...$

При больших числах Био ($Bi \geq 3$)

$$\mu_n = a_n - G_2/\gamma_n \approx a_n(1 - \beta/\gamma_n), \quad (25)$$

где $G_2 = \beta a_n$; $\rho_2 = G_2^2/3$; γ — см. уравнение (23); $a_n = n\pi$; $\beta = 1/Bi$.

В двух предельных случаях — малые и большие числа Био, полученные решения значительно упрощаются. Предварительно упростим расчет тепловой амплитуды $A(\mu_n)$. Используя тригонометрическое тождество $1/\sin x = \sqrt{1 + \operatorname{ctg}^2 x}$ и характеристическое уравнение (11), можно записать

$$\mu_n / \sin \mu_n = (-1)^{n+1} \cdot \sqrt{\mu_n^2 + B^2}. \quad (26)$$

С учетом последнего выражения тепловая амплитуда, входящая в уравнение (6) определения температуры центра шара, станет

$$A_n(\mu_n) = P_n(\mu_n)(-1)^{n+1} \sqrt{\mu_n^2 + B^2}. \quad (27)$$

Теперь получим упрощенные выражения для других амплитуд в двух предельных случаях.

Асимптотика при малых числах Био. Первый корень уравнения (11) вычисляем по соотношению (23) при $\gamma \cong 1$ и $m = 1 + \text{Bi}/5$, а второй — по (24). Тогда отношение собственных чисел

$$\delta = (\mu_1/\mu_2)^2 = D/\left[\gamma b_2^2(1 - \varepsilon_2)^2\right] \approx 4\text{Bi} \cdot (1 - \text{Bi}/5)/(3\pi^2), \quad (28)$$

где $\varepsilon_2 = B/(b_2\gamma_2)$; $\gamma_2 \approx 1 + \rho_2$; $\rho_2 = -(2 + \text{Bi}) \cdot B/(3b_2^2)$.

Здесь и далее, для оценки погрешности получаемых приближенных решений, имеет смысл привести величины при числе $\text{Bi} = 1$ ($B = 0$), когда точные значения корней: $\mu_n^T(1) = b_n = (2n - 1)\pi/2$. Расчет по уравнению (23) при $\text{Bi} = 1$ первого корня дает $\mu_1(1) \cong 1,5708$ с погрешностью $\Pi_{\mu_1} = 0,06\%$ по сравнению с точным $\mu_1^T(1) = \pi/2$. Отношение корней $\delta^T(1) = 1/9$, а расчет по (28) $\delta(1) \cong 0,1121$ с $\Pi_\delta = 0,9\%$.

Разность квадратов корней $a = \mu_2^2 - \mu_1^2 = b_2^2(1 - \varepsilon_2)^2 - D/\gamma \approx 9\pi^2/4$. При этом $a^T(1) = 2\pi^2$.

Первая амплитуда, входящая в уравнение (5) температуры поверхности

$$P_1 = 2/(-B + 3/m\gamma) \approx 1/(m\gamma) \approx 1 - \text{Bi}/5. \quad (29)$$

По аналогии вторая $P_2 = 2/(-B + 1/m_2)$ и любая

$$P_n(\mu_n) = 2/(-B + 1/m_n), \quad (30)$$

где $m_n = \text{Bi}/\mu_n^2$ — n -ый коэффициент термической массивности.

При $\text{Bi} = 1$ $P_1^T(1) = 2\text{Bi}/b_1^2 = 8/\pi^2 = 0,81057$ и $P_2^T(1) = P_1^T(1)/9 \cong 0,09$.

Интересно отметить, что в отличие от других амплитуд зависимость P_2 от числа Био носит немонотонный характер, возрастает от нуля до максимального значения $P_{2\max} \cong 0,2$ при числе $\text{Bi} \cong 5$, а затем уменьшается до нуля, оставаясь меньше $P_1(\text{Bi})$.

Введем отношение поверхностных амплитуд

$$\eta = P_2/P_1 = (-B + \mu_1^2/\text{Bi})/(-B + 1/m_2) = (\delta - m_2B)/(1 - m_2B). \quad (31)$$

При числе $\text{Bi} = 0$ $\eta(0) = \delta(0) = 0$, а при $\text{Bi} = 1$ $\eta^T(1) = \delta^T(1) = 1/9$.

Амплитуда A_1 согласно уравнению (27) и с учетом того, что при малых аргументах $\sqrt{1+x} \approx 1 + x/2$:

$$A_1 = P_1 \sqrt{\mu_1^2 + B^2} \approx 1 + K_A \cdot \text{Bi}, \quad (32)$$

где $K_A = k/2(k+2) = 3/10$.

Вторая амплитуда

$$A_2 = -P_2 \sqrt{\mu_2^2 + B^2} \approx -P_2 \mu_2 \left(1 + B^2/2\mu_2^2\right). \quad (33)$$

Значения при $\text{Bi} = 1$: $A_1^T(1) = P_1^T(1) \cdot b_1 = 4/\pi = 1,27323$;

$A_2^T(1) = -P_2^T(1) \cdot b_2 = -A_1^T/3 = -4/3\pi = -0,424413$.

Для среднemasсовой температуры:

$$M_1 = P_1 \cdot 3\text{Bi}/\mu_1^2 = P_1 m\gamma \approx (1 - \text{Bi}^2/25) \quad \text{и} \quad M_2 = 3P_2 \cdot m_2. \quad (34)$$

При $\text{Bi} = 1$: $M_1^T(1) = 3P_1^T/b_1^2 = 96/\pi^2 = 0,985534$ и $M_2^T(1) = M_1^T/81 = 0,012167$.

Для перепада температур по уравнению (10)

$$E_1 = P_1 - A_1 = P_1 \left(1 - \sqrt{\mu_1^2 + B^2}\right) \approx -\text{Bi}(1 - \text{Bi}/15)/2, \quad (35)$$

$E_2 = P_2 \left(1 + \sqrt{\mu_2^2 + B^2}\right)$. При $\text{Bi} = 1$: $E_1^T(1) = P_1^T(1 - b_1) = -0,46267$ и $E_2^T(1) = P_2^T(1 + b_2) = 0,514476$.

Для термических напряжений в центре шара по (3)

$$C_1 = M_1 - A_1 = P_1 \left(3\text{Bi}/\mu_1^2 - \sqrt{\mu_1^2 + B^2}\right) \approx P_1(m\gamma - \mu_1). \quad (36)$$

$$C_2 = M_2 - A_2 = P_2 \left(3m_2 + \sqrt{\mu_2^2 + B^2}\right).$$

При числе $\text{Bi} = 1$: $C_1^T(1) = P_1^T(3/b_1^2 - b_1) = -0,287705$ и $C_2^T(1) = P_2^T(3/b_2^2 + b_2) = 0,436580$.

Для термонапряжений на поверхности

$$D_1 = M_1 - P_1 = P_1(3\text{Bi}/\mu_1^2 - 1) \cong P_1(m\gamma - 1) \approx P_1 \cdot \text{Bi}/5, \quad (37)$$

$$D_2 = M_2 - P_2 = P_2(3m_2 - 1).$$

При $\text{Bi} = 1$: $D_1^T(1) = P_1^T(3/b_1^2 - 1) = 0,17496$ и $D_2^T(1) = P_2^T(3/b_2^2 - 1) = -0,077896$.

С целью проверки амплитуды D можно использовать равенство $D = C - E$.

Выражения для расчета максимальных времен по уравнению (18) также упрощаются.

Коэффициент поверхности ($j = 1$)

$$b_{\text{п}} = -\delta D_1/D_2 = -\delta(m\gamma - 1)/[\eta(3m_2 - 1)] \approx 3\text{Bi}/10,$$

для перепада температур ($j = 2$)

$$b = -\delta E_1/E_2 = -\delta/\eta \cdot \left(1 - \sqrt{\mu_1^2 + B^2}\right) / \left(1 + \sqrt{\mu_2^2 + B^2}\right) \approx \text{Bi}/10, \quad (38)$$

где отношение $\delta/\eta \cong (1 - m_2B)/(1 - m\gamma/3) \approx 3/2$ и центра ($j = 3$)

$$b_{\text{ц}} = -\delta C_1/C_2 = (\delta \cdot 3\text{Bi}/10) / \left[\eta \left(3m_2 + \sqrt{\mu_2^2 + B^2}\right)\right] \approx \text{Bi}/8.$$

При числах $\text{Bi} = 1$ коэффициенты:

$$b_{\text{п}}^T(1) = -(3/b_1^2 - 1)/(3/b_2^2 - 1) = 0,249571;$$

$$b^T(1) = (b_1 - 1)/(b_2 + 1) = 0,09992;$$

$$b_{\text{ц}}^T(1) = -(3/b_1^2 - b_1)/(3/b_2^2 + b_2) = 0,073222.$$

Результаты расчетов при $\text{Bi} = 1$ максимальных времен Fo_j по формуле (18) и соответствующих этим временам максимальных термических напряжений на поверхности по уравнению (16), $\Delta\theta_m$ по (15) и термонапряжений в центре шара по (17) приведены в табл. 1. Там же представлены данные при $\text{Bi} = \infty$.

Таблица 1. Коэффициенты b_j , максимальные времена Fo_j , $\tilde{\sigma}_{м.п.}$, $\Delta\theta_m$ и $\tilde{\sigma}_{м.ц.}$ при $Bi=1$ и ∞ .

j	Число Био $Bi=1$			$Bi=\infty$		
	b_j	$Fo_{m,j}$	$\tilde{\sigma}_{m,j}$	b_j	$Fo_{m,j}$	$\tilde{\sigma}_{m,j}$
1	0,249570	0,070318	0,13075	1	0	0
2	0,099922	0,117057	-0,30809	1/4	0,04682	-0,9449
3	0,073222	0,132440	-0,18445	0,16172	0,06153	-0,5688

Анализ уравнений (18) и (38) позволяет сделать вывод о том, что максимум величин наступает в последовательности $j=1, 2, 3$ и с ростом числа Био эти времена уменьшаются.

Для оценки различия максимальных времен составим их разности:

$$\Delta Fo_1 = Fo_{max} - Fo_{м.п} = 0,117 - 0,070 = 0,0467;$$

$$\Delta Fo_2 = Fo_{м.ц} - Fo_{max} = 0,129 - 0,117 = 0,0125;$$

и

$$\Delta Fo_3 = \Delta Fo_1 + \Delta Fo_2 = 0,0467 + 0,0125 = 0,0592. \quad (39)$$

Из (18) и табл. 1 следует, что с ростом числа Био различия максимальных времен увеличиваются, вплоть до $\Delta Fo_3 = 0,0615$ – см. уравнение (47).

На практике технологов интересует вопрос — насколько термические напряжения на поверхности тела больше, чем в его середине. Обозначим их отношение $R = \sigma_{п}/\sigma_{ц}$. Наиболее просто R можно найти в стадии регулярного режима нагрева (РРН), который наступает при числах Фурье $Fo > 0,3$ и когда вместо бесконечных сумм в уравнениях (2)...(10) можно ограничиться одним членом ряда. Тогда, деля уравнение (2) на (3) и учитывая упрощенные соотношения (36) и (37), получим

$$\begin{aligned} R &= \tilde{\sigma}_{п}/\tilde{\sigma}_{ц} = D_1/C_1 = \\ &= \left(3Bi/\mu_1^2 - 1\right) / \left(3Bi/\mu_1^2 - \sqrt{\mu_1^2 + B^2}\right) \approx \\ &\approx 2/[3(1+2Bi/3)]. \end{aligned} \quad (40)$$

При числе $Bi=0$ $R(0) = -2/k = -2/3$, а при $Bi=1$ $R^T(1) = (3/b_1^2 - 1)/(3/b_1^2 - b_1) = -0,6081$.

Таким образом, в отличие от процесса нагрева плоских тел, когда при $k=1$ $R(0) = -2$, термические напряжения на поверхности тела в 2 раза больше термонапряжений в центре, при нагреве шаровых тел уже напряжения в центральных точках тела в 1,5 раза больше, чем на поверхности.

Асимптотика при больших числах Био. Теперь корни μ_n находим по уравнению (25). Тогда отношение

$$\begin{aligned} \delta &= [a_1(1-\beta/\gamma_1)]^2 / [a_2(1-\beta/\gamma_2)]^2 \approx \\ &\approx (1-2\beta(1/\gamma_1 - 1/\gamma_2))/4, \end{aligned} \quad (41)$$

где $\gamma_1 \cong 1 + \rho_1$; $\gamma_2 \cong 1 + \rho_2$; $\rho_1 = a_1^2 \beta^2 / 3$; $\rho_2 = 4\rho_1$; $a_1 = \pi$; $a_2 = 2\pi$; $a_n = n\pi$.

В предельном случае, при $Bi=\infty$ отношение $\delta_\infty = \delta(\infty) = 1/4$.

Разность квадратов корней

$$\begin{aligned} a &= \pi^2 [4(1-\beta/\gamma_1)^2 - (1-\beta/\gamma_2)^2] \approx \\ &\approx 3\pi^2 [1 - 2\beta(4/\gamma_1 - 1/\gamma_2)]/3] \end{aligned} \quad (42)$$

Амплитуды:

$$P_1 = 2\beta/(1-\beta+z^2) \approx 2\beta(1+\beta-z^2) \approx 2\tilde{\beta};$$

$$P_2 = 2\beta(1+\beta-4z^2) \approx 2\tilde{\beta} \cong P_1,$$

где $z = \mu_1/Bi = a_1(1-\beta/\gamma_1)\beta$; $\tilde{\beta} = \beta(1+\beta)$.

$$A_1 = A_{1,\infty} \cdot (1+\beta)\sqrt{1-z^2} \approx A_{1,\infty} \cdot (1+\beta)(1-z^2/2);$$

$$A_2 = A_{2,\infty} \cdot (1+\beta)\sqrt{1-4z^2} \approx A_{2,\infty} \cdot (1+\beta)(1-2z^2),$$

где $A_{1,\infty} = 2$ и $A_{2,\infty} = -A_{1,\infty} = -2$ — амплитуды при $Bi=\infty$.

$$M_1 = M_{1,\infty}(1+\beta)/(1-\beta/\gamma_1)^2; \quad M_2 = M_{2,\infty}(1+\beta)/(1-\beta/\gamma_2)^2,$$

где $M_{1,\infty} = 6/\pi^2 = 0,607927$; $M_{2,\infty} = M_{1,\infty}/4$.

$$C_1 = M_1 - A_1; \quad C_{1,\infty} = M_{1,\infty} - A_{1,\infty} = 6/\pi^2 - 2 = -1,392073;$$

$$C_2 = M_2 - A_2; \quad C_{2,\infty} = M_{2,\infty} - A_{2,\infty} = 2,151982.$$

$$E_1 = P_1 - A_1; \quad E_{1,\infty} = -A_{1,\infty};$$

$$E_2 = 2\tilde{\beta} - A_{2,\infty}(1+\beta)\sqrt{1-4z^2}; \quad E_{2,\infty} = -A_{2,\infty}.$$

$$D_1 = M_1 - P_1; \quad D_{1,\infty} = M_{1,\infty};$$

$$D_2 = M_2 - P_2; \quad D_{2,\infty} = M_{2,\infty}.$$

Теперь коэффициенты для расчета максимальных времен примут вид:

$$b_{п} = \frac{\delta [M_{1,\infty}(1+\beta) \cdot (1+2\beta/\gamma_1) - 2\tilde{\beta}]}{-M_{2,\infty}(1+\beta) \cdot (1+2\beta/\gamma_2) + 2\tilde{\beta}}; \quad (43)$$

$$b = \frac{\delta [A_{1,\infty}(1+\beta)\sqrt{1-z^2} - 2\tilde{\beta}]}{-A_{2,\infty}(1+\beta)\sqrt{1-4z^2} + 2\tilde{\beta}}; \quad (44)$$

$$b_{ц} = \frac{\delta [A_{1,\infty}\sqrt{1-z^2} - M_{1,\infty} \cdot (1+2\beta/\gamma_1)]}{-A_{2,\infty}\sqrt{1-9z^2} + M_{2,\infty} \cdot (1+2\beta/\gamma_2)}; \quad (45)$$

В предельном случае при $Bi=\infty$:

$$b_{п,\infty} = -\delta_\infty D_{1,\infty}/D_{2,\infty} = -M_{1,\infty}/(4M_{2,\infty}) = -1;$$

$$b_{\infty} = -\delta_\infty A_{1,\infty}/A_{2,\infty} = 1/4;$$

$$b_{ц,\infty} = -\delta_\infty C_{1,\infty}/C_{2,\infty} = 0,161720. \quad (46)$$

Так как $b_{п,\infty} = -1$ лишено физического смысла, следует взять $b_{п,\infty} = |1|$.

Тогда наименьшие максимальные времена согласно (18) при $a_\infty = 3\pi^2$ будут:

$$Fo_{м.п.\infty} = 0, \quad Fo_{max,\infty} = (1/3\pi^2) \ln 4 = 0,04682$$

и $Fo_{м.ц.\infty} = (1/3\pi^2) \ln(1/b_{ц,\infty}) = 0,061532. \quad (47)$

Подставляя (47) в уравнение (3), получим максимально возможное термическое напряжение в центре шара

$$\tilde{\sigma}_{м.ц.\infty} = (1-\delta_\infty) C_{1,\infty} \cdot \exp(-a_1^2 Fo_{м.ц.\infty}) = -0,568824. \quad (48)$$

Величины $b_{j,\infty}$, вычисленные по уравнению (46), времена $Fo_{j,\infty}$ согласно (47) и максимальные термические напряжения $\tilde{\sigma}_{m,j,\infty}$ приведены в табл. 1.

Термонапряжение на поверхности при времени $Fo_{м.п.∞}$

$$\begin{aligned} \tilde{\sigma}_{п.м.∞} &= D_{1,∞} \exp(-a_1^2 Fo_{м.п.∞}) + \\ &+ D_{2,∞} \exp(-4a_1^2 Fo_{м.п.∞}) = 0,344602 \end{aligned}$$

и отношение напряжений в этот момент времени

$$R = \sigma_{п} / \sigma_{ц} = 0,3446 / (-0,5688) = -0,6058.$$

Последняя несколько больше, чем отношение $R_{∞} = D_{1,∞} / C_{1,∞} = 0,6079 / 1,392 = -0,4367$, которое получено для стадии РРН с учетом одного первого члена ряда.

Следует отметить, что если приближенно считать $R = -2/k$, то из уравнения (9) будем иметь

$$\tilde{\sigma}_n = -K_{\sigma} \cdot \Delta\theta(Fo), \quad (49)$$

где $K_{\sigma} = 2/(2+k)$.

Это соотношение при $k=1$ и 2 полностью совпадает с формулами Н.Ю. Тайца [4] для максимальных термических напряжений

$$\sigma_{max}(\tau) = K_{\sigma} \beta E \Delta t(\tau) / (1-\nu). \quad (50)$$

Из анализа уравнения (43) вытекает, что коэффициент $b_{п}$ меняет знак по причине изменения знака амплитуды D_2 , изменяющейся от $-8Bi/9\pi^2$ при малых числах Био до $D_{2,∞} = +0,152$. Из условия равенства нулю D_2 можно получить граничное число $Bi_M = 15$ выше которого имеем случаи нагрева термически «массивного» тела. Таким образом, при числах $Bi < Bi_M$ для определения времени $Fo_{м.п}$ можно применять формулу (12) в которой $b_{п}$ определяется по уравнению (43), а при $Bi > Bi_M$ коэффициент $b_{п}$ становится отрицательным и нельзя пользоваться формулой (12). Возникшую ситуацию можно объяснить следующим образом. Формулы (12)...(22) получены с учетом всего двух членов ряда. С ростом числа Био максимальное время $Fo_{м.п}$ уменьшается, вплоть до 0 при $Bi = \infty$.

При очень малых числах Фурье ($Fo < 0,1$) расчёт температур по уравнениям (2)...(10) затруднителен из-за необходимости учета большого количества членов ряда, ввиду его плохой сходимости. В этом случае для расчёта поверхностной температуры можно использовать формулы, полученные методом операционного исчисления в работе [5]. Объединяя эти формулы в одно уравнение для простых тел, будем иметь:

$$\theta_{п}(Fo) = 1 - H(1 - \varphi(y)), \quad (51)$$

где $H = Bi/G$; $G = Bi - (k-1)/2$; $y = G\sqrt{Fo} \equiv Ti$ – модифицированное время, число Тихонова; $\varphi(y) = e^{-y^2} \operatorname{erfc}y$; $\operatorname{erfc}y = (1 - \operatorname{erf}y)$ — дополнительный интеграл вероятностей; $\operatorname{erf}y = p \cdot \int_0^y e^{-x^2} dx$ — функция ошибок Гаусса;

$p = 2/\sqrt{\pi}$; k — фактор формы, см. уравнение (23).

Зная температуру поверхности и используя методику [1], можно найти среднемассовую температуру

$$\begin{aligned} \theta_{cp}(Fo) &= 1 - k \int_0^{Fo} Bi \cdot \theta_{п}(Fo) dFo = \\ &= 1 - k \left[(1-H) \cdot Fo + H\Phi(y)/G \right], \end{aligned} \quad (52)$$

где $\Phi(y) = G^2 \int_0^{Fo} \varphi(y) dFo = \varphi(y) + py - 1$.

Сопоставление приближенных зависимостей (51) и (52) с точными решениями (5) и (7) показало, что погрешность уравнения (52) при расчете средней температуры гораздо меньше, чем уравнения (51) для температуры поверхности.

Так, например, в случае нагрева при $Bi = 1$ формулой (51) можно пользоваться с относительной погрешностью $\delta t_{п} = (t_{п}^{точное} - t_{п}^{прибл}) \cdot 100 / t_{п}^{точн}$ менее + 5% при времени начальной стадии от 0 до $Fo_{н.с} = 0,4$, а формулой (52) с погрешностью $\delta t_{cp} \leq -5\%$ до момента времени $Fo_{н.с} = 0,53$.

Знаки перед погрешностями δt означают, что температура поверхности при расчете по уравнению (51) занижена, а средняя температура по (52) — завышена по сравнению с точными значениями. При расчетах процессов охлаждения знаки погрешностей поменяются на обратные.

Решения (51) и (52) можно упростить путем разложения функции $\varphi(y)$ в ряд при малых ($y < 1$):

$$\varphi(y) = 1 - py + y^2 - \frac{2p}{3}y^3 + \frac{y^4}{2!} \dots \quad (53)$$

и при больших ($y \gg 1$) аргументах:

$$\varphi(y) = \frac{1}{\sqrt{\pi}y} [1 - u(1 - 3u(1 - 5u(1 - \dots)))], \quad (54)$$

где $u = 1/(2y^2)$.

Графическое решение уравнений (51) и (52) приведено на рисунке 1.

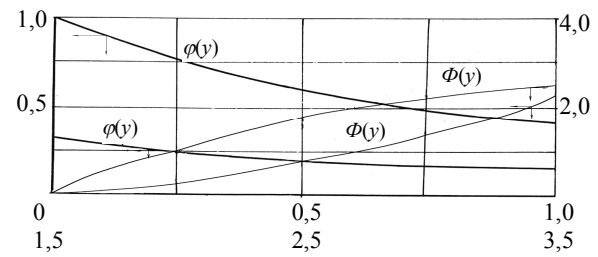


Рис. 1. Зависимость функций φ и Φ от времени y

Интересно отметить, что, в отличие от уравнения (5), где температура поверхности зависит от двух величин – числа Био и Фурье, из уравнения (51) следует, что $\theta_{п}$ зависит только от одного параметра — числа Тихонова $Ti = G\sqrt{Fo}$. Вместо семейства кривых (5) на рисунке 1 имеем всего одну линию. Решения, подобные (51), когда исчезает зависимость процесса от какого-либо параметра, принято называть автомоделными.

При числах $Bi = 1$ для шара или $1/2$ для цилиндра коэффициент $G = 0$ и в расчетных соотношениях (51) и (52) следует раскрывать неопределенность типа $0/0$. Используя разложение (53) функции $\varphi(y)$ при малых аргументах, из уравнения (51) получим для температуры на поверхности:

$$\theta_n(\text{Fo}) = 1 - p\text{Bi}_* \sqrt{\text{Fo}} \quad (55)$$

и для среднемассовой из (52)

$$\theta_{\text{cp}}(\text{Fo}) = 1 - k\text{Bi}_* \text{Fo} \left(1 - 2p\text{Bi}_* \sqrt{\text{Fo}}/3\right), \quad (56)$$

где $\text{Bi}_* = 1$ и $k = 3$ для шара и $\text{Bi}_* = 1/2$ и $k = 2$ — для длинного цилиндра.

Таким образом, при малых временах процесса ($\text{Fo} < 0,1$) вместо уравнения (5) будет (51), вместо (7) — (52), а температуру в центре тела на начальной стадии нагрева приближенно можно принять $\theta_{\text{ц}} \cong 1$.

С учетом сказанного уравнение (2) для расчета термических напряжений на поверхности примет вид

$$\tilde{\sigma}_n(\text{Fo}) = H(1 - \varphi(y)) - k[(1 - H)\text{Fo} + H\Phi(y)/G]. \quad (57)$$

При $G = 0$, после раскрытия неопределенности с помощью (53), получим

$$\tilde{\sigma}_n(\text{Fo}) = p\text{Bi}_* \sqrt{\text{Fo}} \left(1 + 2k\text{Bi}_* \sqrt{\text{Fo}}/3\right) - k\text{Bi}_* \text{Fo}. \quad (58)$$

Дифференцируя уравнение (57) по времени и приравняв производную нулю с учетом разложений (53) и (54) можно получить формулу, аналогично (12), для расчета времени наступления $\text{Fo}_{\text{м.п}}$ максимального термического напряжения на поверхности. Ввиду сложности (57) и необходимости в дальнейшем решать трансцендентные уравнения, покажем ход расчета на более простом уравнении (58). Из соотношения $d\tilde{\sigma}_n/d\text{Fo} = 0$ получим квадратное уравнение, решение которого имеет вид:

$$\text{Fo}_{\text{м.п}} = G_3/\gamma_3, \quad (59)$$

где $G_3 = 1/[k(\pi k - 4\text{Bi}_*)]$; $\gamma_3 = 1 - \rho_3$; $\rho_3 = (2k\text{Bi}_* \cdot G_3)^2$.

Расчет для шара при $k = 3$ и $\text{Bi}_* = 1$ дает $\text{Fo}_{\text{м.п}}(1) = 0,07104$, что хорошо согласуется с ранее полученной по (12) величиной 0,070318 (см. табл. 1).

Иногда требуется определить расположение координаты X_n нейтрального слоя в котором термические напряжения меняют знак с $+\tilde{\sigma}$ на $-\tilde{\sigma}$, т.е. в этой точке равны нулю. Наиболее просто это можно сделать в стадии РРН. Тогда согласно уравнению (1) $\theta_{\text{cp}}(\text{Fo}) = \theta(X_n, \text{Fo})$ или $M_1 = P_1(\sin(\mu_1 X_n))/(\mu_1 X_n) \times \mu_1/\sin \mu_1$. Разрешая последнее выражение относительно X_n , получим

$$X_n = (1/\mu_1) \sqrt{6(1-S)}, \quad (60)$$

где $S = m\gamma/\sqrt{\mu_1^2 + B^2}$.

При малых числах Био $S \approx 1 - 3\text{Bi}/10$. Тогда будем иметь

$$X_n = \sqrt{3/5} = 0,7746. \quad (61)$$

При больших числах Био $S \approx 0$ и

$$X_n = \sqrt{6}/\pi = 0,7797. \quad (62)$$

Таким образом, поскольку $X_n > 0,5$ нейтральные слои расположены ближе к поверхности, а само X_n колеблется в узких пределах — от 0,77 до 0,78.

Следует отметить, что при нагреве абсолютные, т.е. размерные термические напряжения $\sigma = \sigma_0 \cdot \tilde{\sigma}$ поменяют знаки за счет отрицательности σ_0 из-за $\Delta t_0 = (t_0 - t_c) < 0$.

В заключение укажем, что все полученные решения описывают как процесс конвективного нагрева шаровых тел, так и их охлаждение.

Выводы

1. Разработана инженерная методика расчета термических напряжений при конвективном нагреве (охлаждении) шаровых тел. Получены простые и эффективные формулы для двух предельных случаев малых и больших чисел Био на начальной и регулярной стадиях нагрева. Сделан акцент на определение максимальных термонапряжений и времени их наступления.
2. При нагреве на поверхности шара возникают сжимающие (отрицательные) напряжения, а в середине растягивающие (положительные); в случае процесса охлаждения знаки поменяются.
3. Нейтральные слои расположены ближе к поверхности.
4. Наибольшее значение по абсолютной величине имеют напряжения в середине, которые примерно в 1,5 раза превышают термонапряжения на поверхности шара.

ЛИТЕРАТУРА

1. Горбунов А.Д. К расчёту термических напряжений при конвективном нагреве пластины // Математичне моделювання. – Днепропетровск: 2010. № 1(22). – С. 16–21.
2. Гольдфарб Э.М., Горбунов А.Д. Определение корней трансцендентных уравнений при нагреве тел в прямотоке и протivotоке // ИФЖ. – 1984. – Т.46. – № 5. – С. 870–871.
3. Горбунов А.Д., Гольдфарб Э. М. Нахождение корней трансцендентных уравнений в задачах теплопроводности шара при неоднородных граничных условиях // Изв. вузов. Черная металлургия. – 1984. – № 2. – С. 79–83.
4. Тайц Н.Ю. Технология нагрева стали. – М.: Металлургиздат, 1950. – 151 с.
5. Лыков А.В. Теория теплопроводности. – М.: Высш. школа, 1967. – 600 с.